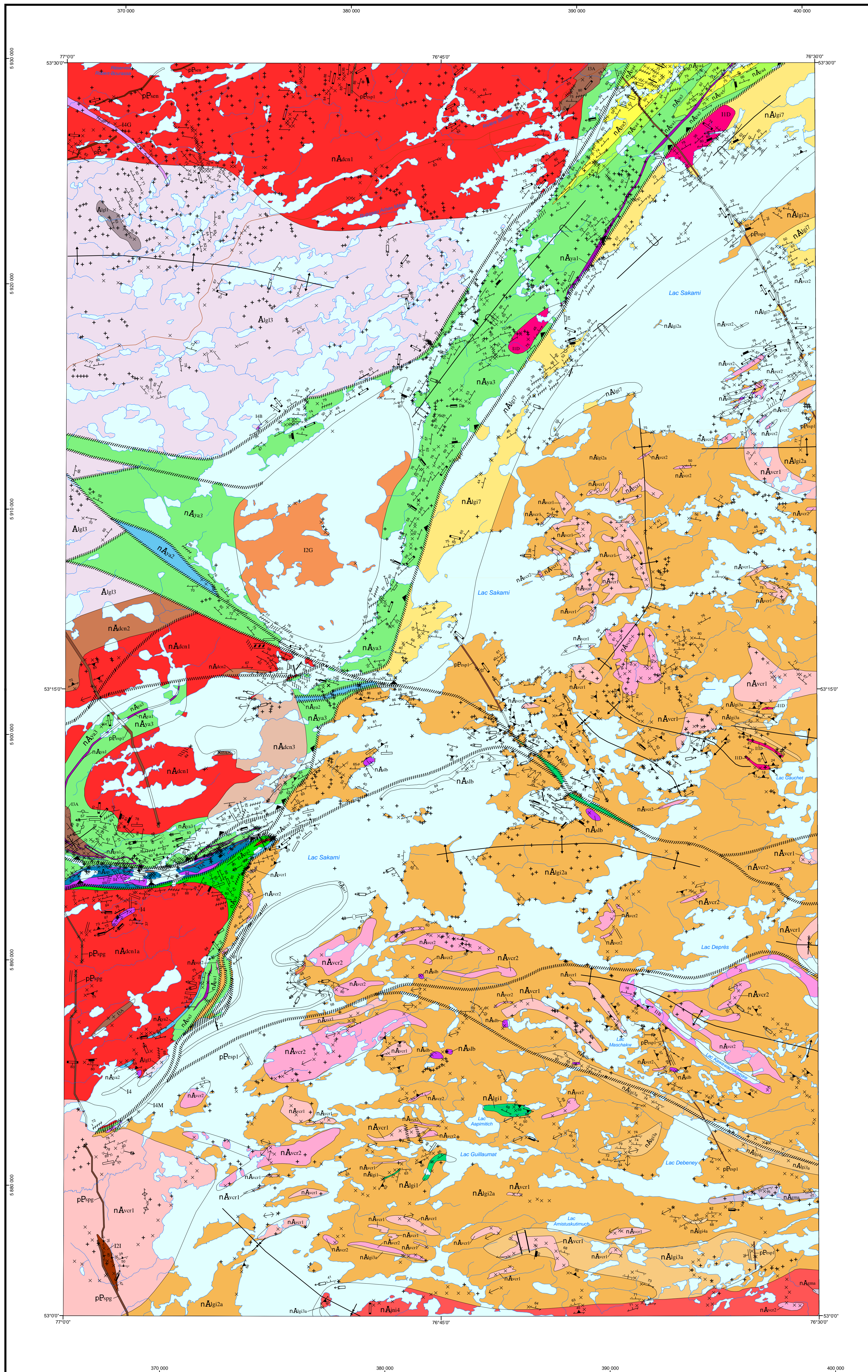


Géologie - Région du lac Sakami



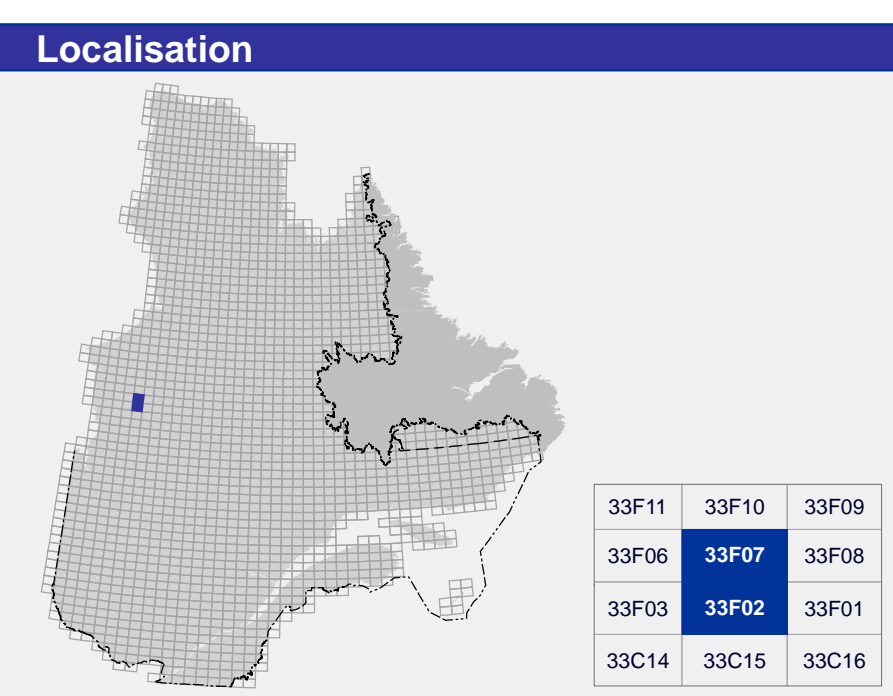
LÉGENDE STRATIGRAPHIQUE

- PALÉOPROTÉROZOÏQUE**
- Dykes de Shpogan (2004 à 1999 Ma, Hamilton, communication personnelle, 2011 et 2016)
 pPep1 Diabase
- Dykes du Lac Esprit (2009 ±1 Ma, Hamilton et al., 2001)
 pPep1 Diabase de gabbronorite, localement porphyrique à plagioclase
- Dykes de Senneterre (2221 ±4 Ma et 2216 ±8/4 Ma, Buchan et al., 1996; Davis, communication personnelle, 2015)
 pPep1 Diabase
- NÉOARCHÉEN**
- Granite du Vieux Comptoir (2618 ±18-13 Ma et 2618 ±2 Ma, Goutier et al., 1999b et 2000)
 nAver2 Granite à feldspath alcalin à biotite, avec ou sans tourmaline, muscovite et grenat, pegmatite
- nAver1 Granite à biotite, magnétite, avec ou sans hornblende et épidoite, massif à légèrement folié
- SOUS-PROVINCE DE LA GRANDE NÉOARCHÉEN**
- Intrusions de Duncan (2716 à 2709 Ma, Davis et al., 2005; Goutier et al., 1998a et Goutier et al., 1999a)
- nAver3 Monzonite
 nAver2 Diorite à hornblende
 nAver1 Tonalite à biotite et tonalite à hornblende et biotite, foliée
 nAver1a Tonalite à hornblende et biotite injectée de gabbro
- Groupe de Yasinski (2751 à 2725 Ma, Goutier et al., 1998 et 1999)
- nAver5 Basalte et wacke cisaillée
 nAver5 Pyroclastites felsiques cisaillées
 nAver4 Andésite schisteuse, localement porphyrique et pyroclastites intermédiaires
 nAver3 Basalte avec des lentilles métasomatiques, amphibolite de basalte, amphibolite de basalte rubanée et basalte cisaillée
 nAver2 Conglomérat polygénique, wacke et paragneiss (wacke) à muscovite, biotite, grenat et sillimanite
 nAver1 Formation de fer silicifiée et formation de fer à oxydes
- Formation d'Apple
 nAver Arénite quartzitique et conglomérat monogénique à cailloux de quartz, avec pyrite et uranium
- ARCHÉEN**
- Complexe de Langelier (de 3452 à 2788 Ma, Goutier et al., 1999b, Davis et al., 2014 et David, communication personnelle, 2016)
- Aig13 Tonalite à biotite, foliée à gneissique
 Aig11 Gneiss tonalitique
- SOUS-PROVINCE D'OPINACA**
- Suite intrusive de Janin
 nAver4 Granodiorite
- Suite de Féron (2710,4 ±2,4 Ma, Augland et al., 2016)
 nAver1 Monzodiorite quartzifère à hornblende, épidoite, magnétite et sphène
- Suite de Lablois (>2619,6 ±1,9/1,4 Ma, David et al., 2011)
 nAver1 Métawebstérite à olivine, avec ou sans phlogopite et communément porphyroblastique à orthopyroxène ou riche en anthophyllite - tremolite
- Gneiss de Marpulet
 nAver1 Gneiss tonalitique à biotite, avec ou sans hornblende et magnétite, folié à rubané
- Complexe de Lagulche (>2710 Ma, Augland et al., 2016 et pics métamorphiques à 2663 Ma et 2613 Ma)
- nAver7 Wacke métamorphosée à biotite, folié
- nAver4a Diatexite de paragneiss à biotite, avec ou sans grenat, contenant plus de 50 % de mobilisat
 nAver3a Métatexite de paragneiss à biotite, avec ou sans grenat, contenant 10 à 50 % de mobilisat
 nAver2a Paragneiss de wacke à biotite, avec ou sans grenat, contenant moins de 10 % de mobilisat
 nAver1 Amphibolite rubanée et formation de fer

LÉGENDE LITHOLOGIQUE

- NÉOARCHÉEN**
- nB Granite à fluorine, magnétite et hornblende
 nD Tonalite
 DG Monzodiorite quartzifère, porphyrique à plagioclase
 DI Diorite quartzifère à biotite et hornblende, foliée et granoblastique
 DA Gabbro
 I4 Intrusion ultramafique
 IB Pyroxénite
 IG Websterite à olivine
 HM Dunite

Les symboles et abréviations utilisés sur cette carte sont décrits dans la publication DV 2014-06 du ministère de l'Énergie et des Ressources naturelles.



Métadonnées

Surface de référence géodésique : Ellipsoïde GRS 80
 Système de référence géodésique : NAD 83 compatible avec le système mondial WGS 84
 Projection cartographique : Mercator transverse universelle (MTU), fuseau 18
 Longitude d'origine : 76°45'
 Latitude d'origine : 0°

0 2 4 6 8 km
 1/85 000

Sources

Données : Base de données pour aménagement du territoire (BDAT) échelle 1/100 000

Organisme

Ministère de l'Énergie et des Ressources naturelles

Réalisation

Géologie : Jean Goutier et Joséphine Gigon (2016)

Références : Blanchet, C. (2001) GM 59067
 Gallop, A.M., Mason, W.O. (1976) GM 31873
 Girard, R. (1996) GM 54440
 Mills, J.P. (1972) DP 100
 Mills, J.P. (1973) DP 146
 Paquette, L., Goutier, M. (1997) MB 97-02
 Roy, M.S. (1999) GM 69804
 Sharma, K. N. M. (1974) DP 221
 Sharma, K. N. M. (1974) - DP 275
 Turgeon, D., Ouellet, R. (2007) GM 63308

Assistance technique : Julie Sauvageau et Kathleen O'Brien

Production : Ministère de l'Énergie et des Ressources naturelles
 Direction générale de Géologie Québec

Diffusion : Ministère de l'Énergie et des Ressources naturelles
 Direction de l'information géologique du Québec

CG-2016-05

Pour obtenir les données les plus récentes concernant cette région, nous vous suggérons de consulter les produits géomatiques du Système d'information géométrique du Québec (SIGÉOM)

